

# Starkniederschlagshöhen und -spenden gemäß KOSTRA-DWD-2020

## Rasterfeld 124199

(Zeile 124, Spalte 199)

### Regenspende und Bemessungsniederschlagswerte in Abhängigkeit von Wiederkehrzeit T und Dauerstufe D

| Dauerstufe D |     | Wiederkehrzeit T |            |      |            |      |            |      |            |      |            |       |            |       |            |       |            |       |            |
|--------------|-----|------------------|------------|------|------------|------|------------|------|------------|------|------------|-------|------------|-------|------------|-------|------------|-------|------------|
|              |     | 1 a              |            | 2 a  |            | 3 a  |            | 5 a  |            | 10 a |            | 20 a  |            | 30 a  |            | 50 a  |            | 100 a |            |
| min          | Std | mm               | l / (s ha) | mm   | l / (s ha) | mm   | l / (s ha) | mm   | l / (s ha) | mm   | l / (s ha) | mm    | l / (s ha) | mm    | l / (s ha) | mm    | l / (s ha) | mm    | l / (s ha) |
| 5            |     | 7,1              | 236,7      | 9,1  | 303,3      | 10,2 | 340,0      | 11,8 | 393,3      | 14,0 | 466,7      | 16,3  | 543,3      | 17,8  | 593,3      | 19,8  | 660,0      | 22,7  | 756,7      |
| 10           |     | 9,3              | 155,0      | 11,8 | 196,7      | 13,4 | 223,3      | 15,4 | 256,7      | 18,3 | 305,0      | 21,3  | 355,0      | 23,3  | 388,3      | 25,9  | 431,7      | 29,6  | 493,3      |
| 15           |     | 10,6             | 117,8      | 13,5 | 150,0      | 15,2 | 168,9      | 17,5 | 194,4      | 20,9 | 232,2      | 24,3  | 270,0      | 26,5  | 294,4      | 29,5  | 327,8      | 33,7  | 374,4      |
| 20           |     | 11,6             | 96,7       | 14,7 | 122,5      | 16,6 | 138,3      | 19,1 | 159,2      | 22,7 | 189,2      | 26,5  | 220,8      | 28,9  | 240,8      | 32,1  | 267,5      | 36,7  | 305,8      |
| 30           |     | 12,9             | 71,7       | 16,4 | 91,1       | 18,5 | 102,8      | 21,4 | 118,9      | 25,4 | 141,1      | 29,6  | 164,4      | 32,3  | 179,4      | 35,9  | 199,4      | 41,1  | 228,3      |
| 45           |     | 14,4             | 53,3       | 18,2 | 67,4       | 20,6 | 76,3       | 23,7 | 87,8       | 28,2 | 104,4      | 32,9  | 121,9      | 35,9  | 133,0      | 39,9  | 147,8      | 45,6  | 168,9      |
| 60           | 1   | 15,4             | 42,8       | 19,6 | 54,4       | 22,1 | 61,4       | 25,5 | 70,8       | 30,3 | 84,2       | 35,3  | 98,1       | 38,6  | 107,2      | 42,9  | 119,2      | 49,0  | 136,1      |
| 90           | 1,5 | 17,0             | 31,5       | 21,6 | 40,0       | 24,4 | 45,2       | 28,1 | 52,0       | 33,4 | 61,9       | 38,9  | 72,0       | 42,5  | 78,7       | 47,2  | 87,4       | 54,0  | 100,0      |
| 120          | 2   | 18,2             | 25,3       | 23,1 | 32,1       | 26,1 | 36,3       | 30,1 | 41,8       | 35,8 | 49,7       | 41,7  | 57,9       | 45,5  | 63,2       | 50,6  | 70,3       | 57,8  | 80,3       |
| 180          | 3   | 20,0             | 18,5       | 25,4 | 23,5       | 28,7 | 26,6       | 33,0 | 30,6       | 39,3 | 36,4       | 45,8  | 42,4       | 50,0  | 46,3       | 55,5  | 51,4       | 63,5  | 58,8       |
| 240          | 4   | 21,4             | 14,9       | 27,1 | 18,8       | 30,6 | 21,3       | 35,3 | 24,5       | 42,0 | 29,2       | 48,9  | 34,0       | 53,4  | 37,1       | 59,3  | 41,2       | 67,8  | 47,1       |
| 360          | 6   | 23,4             | 10,8       | 29,7 | 13,8       | 33,6 | 15,6       | 38,7 | 17,9       | 46,0 | 21,3       | 53,6  | 24,8       | 58,5  | 27,1       | 65,0  | 30,1       | 74,3  | 34,4       |
| 540          | 9   | 25,7             | 7,9        | 32,5 | 10,0       | 36,8 | 11,4       | 42,4 | 13,1       | 50,4 | 15,6       | 58,7  | 18,1       | 64,1  | 19,8       | 71,2  | 22,0       | 81,4  | 25,1       |
| 720          | 12  | 27,4             | 6,3        | 34,7 | 8,0        | 39,2 | 9,1        | 45,2 | 10,5       | 53,7 | 12,4       | 62,6  | 14,5       | 68,4  | 15,8       | 76,0  | 17,6       | 86,8  | 20,1       |
| 1080         | 18  | 30,0             | 4,6        | 38,0 | 5,9        | 42,9 | 6,6        | 49,5 | 7,6        | 58,8 | 9,1        | 68,5  | 10,6       | 74,9  | 11,6       | 83,2  | 12,8       | 95,1  | 14,7       |
| 1440         | 24  | 32,0             | 3,7        | 40,5 | 4,7        | 45,8 | 5,3        | 52,7 | 6,1        | 62,7 | 7,3        | 73,1  | 8,5        | 79,8  | 9,2        | 88,7  | 10,3       | 101,3 | 11,7       |
| 2880         | 48  | 37,3             | 2,2        | 47,2 | 2,7        | 53,4 | 3,1        | 61,5 | 3,6        | 73,2 | 4,2        | 85,2  | 4,9        | 93,1  | 5,4        | 103,4 | 6,0        | 118,2 | 6,8        |
| 4320         | 72  | 40,8             | 1,6        | 51,7 | 2,0        | 58,4 | 2,3        | 67,3 | 2,6        | 80,1 | 3,1        | 93,3  | 3,6        | 101,9 | 3,9        | 113,2 | 4,4        | 129,4 | 5,0        |
| 5760         | 96  | 43,5             | 1,3        | 55,1 | 1,6        | 62,3 | 1,8        | 71,7 | 2,1        | 85,4 | 2,5        | 99,4  | 2,9        | 108,6 | 3,1        | 120,6 | 3,5        | 137,9 | 4,0        |
| 7200         | 120 | 45,7             | 1,1        | 57,9 | 1,3        | 65,5 | 1,5        | 75,4 | 1,7        | 89,7 | 2,1        | 104,4 | 2,4        | 114,1 | 2,6        | 126,8 | 2,9        | 144,9 | 3,4        |
| 8640         | 144 | 47,6             | 0,9        | 60,3 | 1,2        | 68,2 | 1,3        | 78,5 | 1,5        | 93,4 | 1,8        | 108,8 | 2,1        | 118,8 | 2,3        | 132,0 | 2,5        | 150,9 | 2,9        |
| 10080        | 168 | 49,2             | 0,8        | 62,4 | 1,0        | 70,5 | 1,2        | 81,2 | 1,3        | 96,6 | 1,6        | 112,5 | 1,9        | 123,0 | 2,0        | 136,6 | 2,3        | 156,1 | 2,6        |

# Starkniederschlagshöhen und -spenden gemäß KOSTRA-DWD-2020

## Rasterfeld 124199

(Zeile 124, Spalte 199)

### Örtliche Unsicherheiten in Abhängigkeit von Wiederkehrzeit T und Dauerstufe D

| Dauerstufe D |     | Wiederkehrzeit T |     |     |     |      |      |      |      |       |
|--------------|-----|------------------|-----|-----|-----|------|------|------|------|-------|
|              |     | 1 a              | 2 a | 3 a | 5 a | 10 a | 20 a | 30 a | 50 a | 100 a |
| min          | Std | ± %              | ± % | ± % | ± % | ± %  | ± %  | ± %  | ± %  | ± %   |
| 5            |     | 11               | 11  | 11  | 12  | 12   | 13   | 13   | 14   | 14    |
| 10           |     | 12               | 14  | 15  | 16  | 17   | 18   | 18   | 19   | 19    |
| 15           |     | 14               | 16  | 17  | 18  | 20   | 21   | 21   | 22   | 22    |
| 20           |     | 15               | 18  | 19  | 20  | 21   | 22   | 23   | 23   | 24    |
| 30           |     | 17               | 19  | 20  | 22  | 23   | 24   | 24   | 25   | 26    |
| 45           |     | 18               | 20  | 21  | 22  | 24   | 25   | 25   | 26   | 26    |
| 60           | 1   | 18               | 20  | 22  | 23  | 24   | 25   | 25   | 26   | 27    |
| 90           | 1,5 | 18               | 20  | 21  | 23  | 24   | 25   | 25   | 26   | 27    |
| 120          | 2   | 17               | 20  | 21  | 22  | 23   | 24   | 25   | 25   | 26    |
| 180          | 3   | 17               | 19  | 20  | 21  | 23   | 24   | 24   | 25   | 25    |
| 240          | 4   | 16               | 19  | 20  | 21  | 22   | 23   | 24   | 24   | 25    |
| 360          | 6   | 16               | 18  | 19  | 20  | 21   | 22   | 23   | 23   | 24    |
| 540          | 9   | 15               | 17  | 18  | 19  | 20   | 21   | 22   | 22   | 23    |
| 720          | 12  | 15               | 17  | 18  | 19  | 20   | 21   | 21   | 22   | 22    |
| 1080         | 18  | 14               | 16  | 17  | 18  | 19   | 20   | 20   | 21   | 21    |
| 1440         | 24  | 14               | 16  | 17  | 18  | 19   | 19   | 20   | 20   | 21    |
| 2880         | 48  | 15               | 16  | 16  | 17  | 18   | 19   | 19   | 19   | 20    |
| 4320         | 72  | 15               | 16  | 16  | 17  | 18   | 18   | 19   | 19   | 19    |
| 5760         | 96  | 16               | 16  | 17  | 17  | 18   | 18   | 19   | 19   | 19    |
| 7200         | 120 | 17               | 17  | 17  | 17  | 18   | 18   | 19   | 19   | 19    |
| 8640         | 144 | 17               | 17  | 17  | 18  | 18   | 19   | 19   | 19   | 19    |
| 10080        | 168 | 18               | 18  | 18  | 18  | 18   | 19   | 19   | 19   | 19    |

### Parameter für abweichende T und D

#### Lokationsparameter $\xi$ (Xi)

15,82643953

#### Skalenparameter $\alpha$ (Alpha)

5,87631909

#### Formparameter $\kappa$ (Kappa)

-0,1

#### 1. Koutsoyiannis-Parameter $\theta$ (Theta)

0,03063457

#### 2. Koutsoyiannis-Parameter $\eta$ (Eta)

0,77832823

Parameter für dauerstufenübergreifende Extremwertschätzung nach KOUTSOYIANNIS et al. 1998.

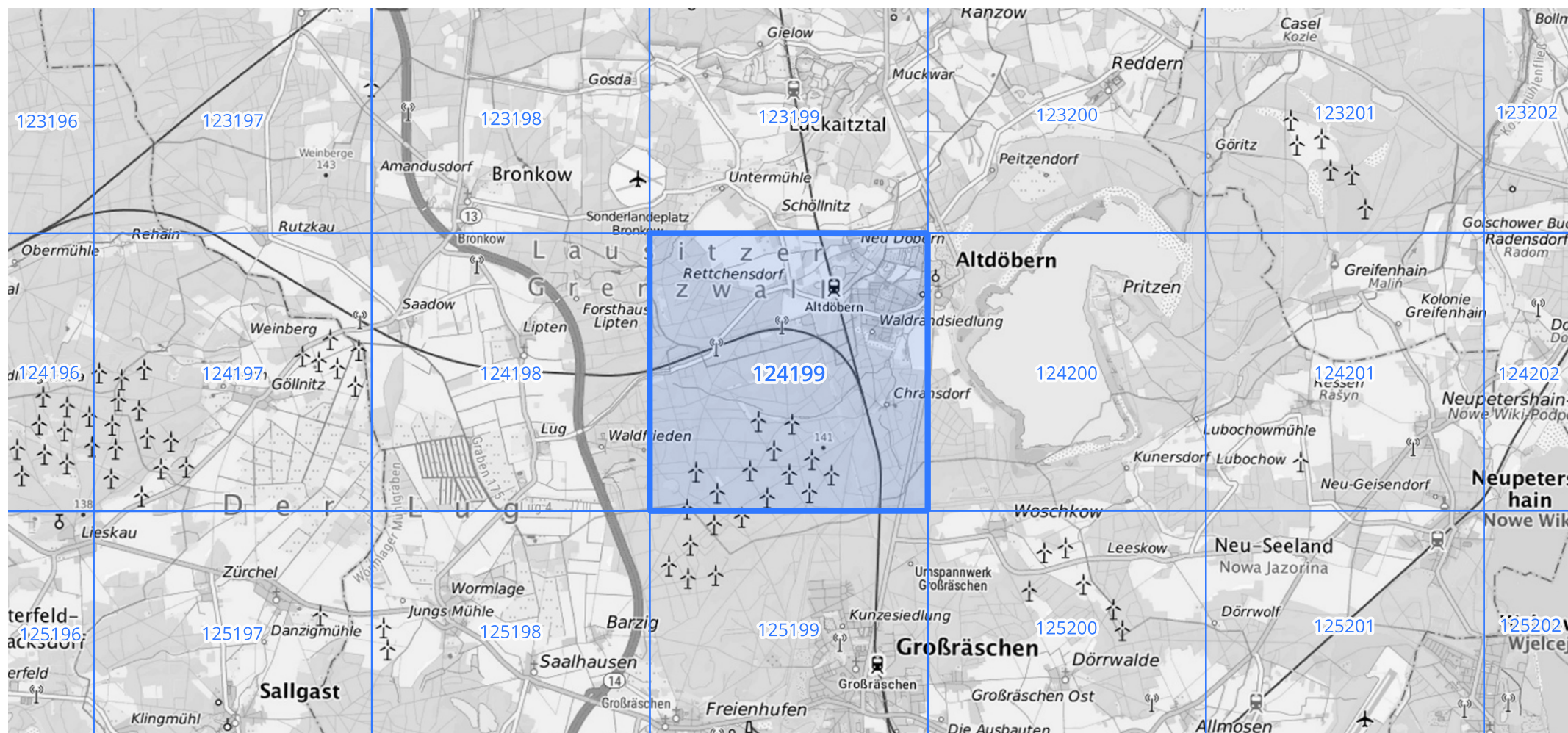
Siehe auch Anwendungshilfe zu KOSTRA-DWD-2020 des Deutschen Wetterdienstes.

# Starkniederschlagshöhen und -spenden gemäß KOSTRA-DWD-2020

## Rasterfeld 124199

(Zeile 124, Spalte 199)

### Übersichtskarte des Rasterfeldes 124199, M 1 : 100 000



Quelle Rasterdaten: KOSTRA-DWD-2020 des Deutschen Wetterdienstes, Stand 12/2022.

Seite 3 von 3

Kartendarstellung: © Bundesamt für Kartographie und Geodäsie (2023), Datenquellen: [https://sgx.geodatenzentrum.de/web\\_public/gdz/datenquellen/Datenquellen\\_TopPlusOpen.html](https://sgx.geodatenzentrum.de/web_public/gdz/datenquellen/Datenquellen_TopPlusOpen.html)

Für die Richtigkeit und Aktualität der Angaben wird keine Gewähr übernommen. Erstellt 01/2023.